

حل معادلات ضربه قوچ یک بعدی و دو بعدی با استفاده از شارموج تغییر یافته و مدل آشفته بالدوین-لوماکس*

حسین مهدیزاده^(۱)

چکیده در این مقاله معادلات جریان ناپایای لرج در لوله های کشسان در حالت یک و دو بعدی، توسط یک روش پخش موج گودونف مدل سازی می گردند. مدل عددی ارائه شده در اینجا قادر است با استفاده از یک روش شار موج تغییر یافته جملات اصطکاک را در داخل تقواوت شارها در دو سلول مجاور روش حجم محابود قرار دهد و شار موج های مرتبط با آن را محاسبه نماید. برای لحاظ کردن عبارات اصطکاک در اینجا از مدل آشفته بالدوین-لوماکس استفاده می گردد. در ابتدا روش عددی برای حل معادلات ضربه قوچ برای یک لوله متصل به مخزن استفاده می شود و نتایج عددی حاصل با حل دقیق و همچنین روش خطوط مشخصات در دو حالت بدون اصطکاک و همچنین با درنظر گرفتن ترموماتیکی اصطکاک پایا مقایسه می گردد. سپس الگوریتم عددی موردنظر برای مدل نمودن جریان در دو لوله با عدد های رینولز مختلف ($Re=15800$, $Re=5800$) که مرتبط با قطر لوله و سرعت متوسط می باشند، با درنظر گرفتن عبارات اصطکاک ناپایایار به کار رفته و نتایج عددی به دست آمده با نتایج آزمایشگاهی مقایسه می گردد. نتایج به دست آمده نشان می دهد که مدل عددی معرفی شده در حالت یک بعدی کاملاً بر حل دقیق منطبق است. همچنین در حالت دو بعدی و با لحاظ نمودن عبارات اصطکاک آشفته تطابق بسیار خوبی را با نتایج آزمایشگاهی برای هر دو محل و مدل رینولز، حتی برای اعداد کورانت نزدیک به یک دارا می باشد.

واژه های کلیدی ضربه قوچ؛ الگوریتم پخش موج؛ روش شار موج؛ الگوی بالدوین-لوماکس.

Numerical Solution of the One- and Two-Dimensional Water Hammer Problems based on a Modified Flux-wave Approach and Baldwin-Lomax Turbulence Model

H. Mahdizadeh

Abstract In this paper the two-dimensional unsteady flow within the elastic pipes is modelled based on a Godunov-type wave propagation algorithm. The numerical solver applied herein employs a modified flux-wave approach which mainly treats the friction source term within the flux-differencing of the finite volume neighboring cells to calculate the relevant flux-waves. In order to include the unsteady friction term the Baldwin-Lomax turbulence model is utilized. First, the method is examined to model the water hammer problem for a pipe connected to reservoir and the obtained numerical results are compared with either the exact solution or method of characteristic with both frictionless and steady friction terms. Then, the proposed scheme is employed to simulate the flow within two pipes with different Reynolds number ($Re=15800$, $Re=5800$) and the numerical simulations are validated with the available experimental data. It will be shown that for one-dimensional water hammer problem the defined numerical scheme gives the exact solutions. Additionally for the two-dimensional water hammer test cases and for the both given Reynolds number the numerical model containing turbulent friction terms provides very good agreement with existing experimental data even for the Courant number close to one.

Key Words Water hammer problem, Wave propagation algorithm, Flux wave approach, Baldwin-Lomax method

*تاریخ دریافت مقاله ۹۵/۵/۱۹ و تاریخ پذیرش ۹۶/۱/۲۰ آن می باشد.

(۱) استادیار، گروه عمران، دانشکده فنی و مهندسی، دانشگاه بیرجند.

hossein.mahdizadeh@birjand.ac.ir

مقدمه

حل مسائل جریان گذار در لوله‌ها از مسایل بسیار مهم در مهندسی عمران و مکانیک می‌باشد. یکی از متداول‌ترین انواع جریان‌ها گذار پدیده ضربه‌قوج است که می‌تواند باعث تغییرات سریع فشار و ایجاد موج‌های ایستا در درون لوله گردد. حرکت موج‌های مذکور می‌تواند نهایتاً منجر به تغییر شکل ناگهانی لوله و تخریب اتصالات شیرها و پمپ‌های موجود در سیستم گردد. در سال‌های اخیر روش‌های مختلفی برای مدل‌سازی جریان لوله‌ها در حالت گذار در حالت یکبعدی و دو بعدی ارائه گردیده است که این روش‌ها به صورت جامع توسط گیدوا و همکاران [1] بررسی و مرور گردیده‌اند. به طور کلی معادلات ضربه‌قوج را در حالت یکبعدی می‌توان با روش خطوط مشخصات، روش تفاضل محدود، و همچنین روش المان محدود حل نمود. روش خطوط مشخصات یک روش سریع و دقیق می‌باشد که به طور گسترده‌ای برای حل معادلات ضربه‌قوج در حالت یکبعدی استفاده می‌گردد. از مزایای اصلی این روش سادگی در برنامه‌نویسی و سرعت بالای آن می‌باشد. سامانی و خیاطزاده [2] معادله ضربه‌قوج را با وجود جملات اصطکاک پایدار با استفاده از روش خطوط مشخصات حل نموده‌اند. از معایب اصلی روش خطوط مشخصات عدم دقت آن در صورت وجود سرعت بالای موج به خصوص در نقاط منقطع می‌باشد. چادری و حسینی [3] معادلات ضربه‌قوج را با روش تفاضل‌های محدود حل کردند. آنها دریافتند که روش تفاضل محدود مرتبه‌دوم نتایج بهتری نسبت به روش خطوط مشخصات مرتبه‌اول می‌دهد. در سال‌های اخیر توجه نسبتاً خوبی به حل معادلات ضربه‌قوج با استفاده از روش‌های حجم محدود گودونوف (Godunov) [4] شده است. روش‌های گودونوف یک راه حل صریح برای حل سیستم معادلات هذلولی می‌باشند که می‌توانند در حالت‌های بقایی و غیربقایی به خصوص برای حل معادلات اولر و آب‌های کم‌عمق استفاده گردد. این روش‌ها که به

(Shock Capturing Shock Capturing Methods) معروف هستند به صورت نسبتاً کامل توسط لوک [5] و تورو [6, 7] مرور گردیده‌اند. ژائو و گیدوا [8] روش‌های مرتبه اول و دوم حجم محدود صریح گودونوف را برای مسائل ضربه‌قوج فرمول‌بندی و تحلیل کردند. آنها دریافتند که این روش به نتایج نسبتاً بهتری نسبت به خطوط مشخصات منجر می‌گردد. در دیگر کار ونگ و چانگ [9] یک روش مرتبه‌دوم یک‌بعدی را برای حل معادلات جریان ناپایا در لوله‌ها توسعه داده‌اند. برای صحبت‌سنگی نتایج مدل آن را با حل دقیق و روش خطوط مشخصات مقایسه نموده‌اند. اخیراً برخی از روش‌های عددی برای مدل نمودن جریان گذار در لوله‌ها با استفاده از عبارات اصطکاک ناپایدار با استفاده از روش‌های حجم محدود و رانگ کوتای مرتبه‌بالا ارائه گردیده است. به عنوان مثال ژائو و گیدوا [8] مدل $\epsilon - k$ را برای مدل‌سازی جریان گذار در لوله‌ها در حالت دو بعدی برای روش حجم محدود ارائه کرده‌اند. ریسمی و همکاران [10] یک مدل درجه چهارم رانگ کوتا را برای حل معادله‌های ضربه‌قوج در حالت دو بعدی معرفی نموده‌اند. برای لحاظ نمودن ترم‌های اصطکاک ناپایدار در حالت دو بعدی در روش آنها از مدل جریان آشفته $\omega - k$ استفاده شده است. در دیگر کار واهبا [11] به ارائه یک روش عددی براساس الگوی رانگ کوتای مرتبه‌دوم مرکزی برای حل معادلات ضربه‌قوج پرداخته است. برای درنظر گرفتن عبارت‌های جریان آشفته از مدل بالدوین-لوماکس استفاده گردیده است. در جهت بررسی نتایج در این کار روش عددی معرفی شده با حل آزمایشگاهی و دقیق مقایسه گردیده است.

هدف اصلی در مقاله حاضر معرفی یک روش دقیق حجم محدود براساس الگوریتم بخش موج برای حل معادلات ضربه‌قوج در حالت‌های یکبعدی و دو بعدی می‌باشد. برای محاسبه جملات راست‌روند و چپ‌روند در الگوریتم پخش موج معرفی شده از روش شار موج استفاده می‌گردد. مدل شار موج موردنظر در واقع توسعه روش شار موج تغییریافته برای معادلات

چگالی (kg/m^3), g شتاب گرانش (m/s^2) و نهایتاً τ_{rx} تنش برشی (N/m^2) می‌باشد که توسط معادله زیر محاسبه می‌گردد:

$$\tau_{rx} = \rho(v + v_t) \frac{\partial u}{\partial r}, \quad (2)$$

که در اینجا، لزجت دینامیک سیال (m^2/s) و v_t لزجت گردابه‌ای (m^2/s) می‌باشد که در حالت جریان آرام برابر صفر درنظر گرفته می‌شود و در حالت جریان آشفته از یک مدل مناسب جریان آشفته قابل محاسبه است. برای بیان معادلات ضربه‌قوج در حالت یک بعدی با جملات اصطکاک پایدار تنها لازم است که در معادله (1) عبارت سرعت در هر مقطع از لوله u با سرعت متوسط V جایگزین گردد و بهجای ترم $\frac{1}{\rho r} \frac{\partial(r\tau_{rx})}{\partial r}$ عبارت زیر در رابطه اندازه حرکت قرار گیرد [13]:

$$\frac{-fV|V|}{2D} \quad (3)$$

در رابطه بالا D قطر لوله (m) و f ضریب اصطکاک مودی در حالت پایدار می‌باشد و توسط رابطه سوامی-جین قابل بیان است [14].

$$f = \frac{0.25}{\left[\log_{10} \left(\frac{\varepsilon}{3.7D} + \frac{5.74}{Re^{0.9}} \right) \right]^2} \quad (4)$$

در رابطه فوق ε زبری لوله و Re عدد رینولدز است که عبارت فوق تنها در محدوده $3 \times 10^8 < Re < 4000$ برای لوله‌های زیر قابل محاسبه است. همان‌طور که قبلاً نیز بیان گردید معادلات ضربه‌قوج یک سیستم معادلات هذلولی می‌باشند و در معادله (1) به صورت غیریقا بیان گردیده‌اند. با حذف

جریان ناپایا در لوله‌ها می‌باشد که در ابتدا برای حل معادلات آب‌های کم‌عمق در حالت یک بعدی و دو بعدی توسط مهدی‌بزاده و همکاران [12, 13] معرفی گردیده است. مدل موردنظر یک مدل کاملاً خوش‌توازن (Well-Balanced) است که اثر عبارت‌های چشمی مانند اصطکاک را در داخل تفاضل دو سلول حجم محدود لحاظ می‌نماید. از طرف دیگر در مدل مذکور احتیاج به محاسبه ماتریس ژاکوبی در هر گام زمانی نمی‌باشد و تنها از این ماتریس برای محاسبه مقدار ویژه و بردارهای ویژه استفاده می‌گردد و بهمین علت از سرعت بالاتری نسبت به مدل‌های عددی دیگر برخوردار می‌باشد. برای درنظر گرفتن ترم‌های اصطکاک ناپایدار در این مقاله از مدل جریان آشفته بالدوین-لوماکس بهره گرفته می‌شود. ادامه این مقاله بدین صورت می‌باشد که در ابتدا به معرفی معادلات ضربه‌قوج پرداخته می‌شود. سپس به توسعه الگوی پخش موج و روش شار موج تغییریافته، با درنظر گرفتن عبارت‌های اصطکاک برای معادلات ضربه‌قوج پرداخته می‌شود. در ادامه الگوی آشفته بالدوین لوماکس بیان می‌شود و نهایتاً الگوی عددی معرفی شده برای چند مسئله جریان گذار در لوله‌ها به کار می‌رود و نتایج عددی به دست آمده با حل تحلیلی و آزمایشگاهی مقایسه می‌گردد.

معادلات ضربه‌قوج در حالت دو بعدی. معادلات ضربه‌قوج در حالت دو بعدی به صورت کلی زیر قابل بیان می‌باشد.

$$\begin{aligned} \frac{\partial H}{\partial t} + V \frac{\partial H}{\partial x} + \frac{a^2}{g} \frac{\partial V}{\partial x} &= 0 \\ \frac{\partial u}{\partial t} + u \frac{\partial u}{\partial x} + g \frac{\partial H}{\partial x} &= \frac{1}{\rho r} \frac{\partial(r\tau_{rx})}{\partial r} \end{aligned} \quad (1)$$

در رابطه (1) H هد فشار (m), a سرعت موج (m/s), u سرعت جریان در هر مقطع از لوله (m/s), ρ سرعت متوسط r فاصله از مرکز لوله (m/s).

الگوریتم پخش موج برای حل سیستم معادلات هذلولی

روش پخش موج گودونوف برای اولین بار توسط لوک [5, 15] بیان گردید که به صورت کلی زیر قابل بیان می‌باشد.

$$\begin{aligned} \mathbf{U}_i^{n+1} = & \mathbf{U}_i^n - \frac{\Delta t}{\Delta x} (\mathbf{A}^+ \Delta \mathbf{U}_{i-1/2} + \mathbf{A}^- \Delta \mathbf{U}_{i+1/2}) \\ & - \frac{\Delta t}{\Delta x} (\tilde{\mathbf{F}}_{i+1/2}^n - \tilde{\mathbf{F}}_{i-1/2}^n), \end{aligned} \quad (9)$$

که در آن \mathbf{U}^{n+1} بردار مجهولات در گام زمانی 1, $n+1$, و $\mathbf{A}^- \Delta \mathbf{U}_{i+1/2}$ و $\mathbf{A}^+ \Delta \mathbf{U}_{i-1/2}$ به ترتیب موج‌های راست‌رونده و چپ‌رونده می‌باشند که به صورت رابطه (10) قابل محاسبه هستند.

$$\begin{aligned} \mathbf{A}^- \Delta \mathbf{U}_{i-1/2} = & \sum_{k: s_{i-1/2} < 0} \xi_{k, i-1/2}, \\ \mathbf{A}^+ \Delta \mathbf{U}_{i-1/2} = & \sum_{k: s_{i-1/2} > 0} \xi_{k, i-1/2}, \end{aligned} \quad (10)$$

در رابطه بالا عبارت $\xi_{k, i-1/2}$, شار موج k ام در سطح مشترک $i-1/2$ می‌باشد که با سرعت موج $s_{i-1/2}$ منتشر می‌گردد و از ضرب یک ضریب مانند $\beta_{k, i-1/2}$ در مقادیر بردار ویژه $\mathbf{r}_{k, i-1/2}$ برای هر سطح مشترک سلول حجم محدود قابل محاسبه است.

$$\xi_{k, i-1/2} = \beta_{k, i-1/2} \mathbf{r}_{k, i-1/2}, \quad (11)$$

لازم به ذکر است که مقادیر سرعت موج $s_{i-1/2}$ برابر با مقادیر ویژه ماتریس ژاکوبی ترم شار در معادله (7) می‌باشد که برای سیستم موردنظر $a \pm a$ به دست خواهد آمد. عبارات $\tilde{\mathbf{F}}_{i \pm 1/2}^n$ در رابطه فوق مرتبط با دقت مرتبه دوم هستند و می‌توانند به شکل زیر تعریف گردد.

$$\tilde{\mathbf{F}}_{i-1/2}^n = \frac{1}{2} \sum_{k=1}^{M_w} \left(I - \frac{\Delta t}{\Delta x} |s_{k, i-1/2}| \right) \tilde{\xi}_{k, i-1/2} \quad (12)$$

عبارات $V \frac{\partial u}{\partial x}$ و $u \frac{\partial H}{\partial x}$ که از لحاظ مقداری بسیار ناچیز می‌باشند می‌توان سیستم معادلات (1) را در شکل بقایی و به صورت شکل زیر بیان نمود.

$$\mathbf{U}_t + \mathbf{F}(\mathbf{U})\mathbf{x} = \mathbf{S} \quad (5)$$

که در اینجا،

$$\mathbf{U} = \begin{bmatrix} H \\ u \end{bmatrix}, \mathbf{F}(\mathbf{U}) = \begin{bmatrix} \frac{a^2}{g} V \\ gH \\ gH \end{bmatrix}, \mathbf{S} = \begin{bmatrix} 0 \\ \frac{1}{\rho r} \frac{\partial(r\tau_{rx})}{\partial r} \end{bmatrix}. \quad (6)$$

می‌باشد. در معادلات فوق \mathbf{U} بردار مجهولات \mathbf{S} بردار شار و نهایتاً \mathbf{S} بردار جملات چشمی می‌باشد. ماتریس ژاکوبی و بردارهای ویژه مرتبط با بردار شار، برای سیستم فوق به صورت زیر قابل بیان است.

$$\begin{aligned} \mathbf{F}'(\mathbf{U}) = & \begin{bmatrix} 0 & a^2/g \\ g & 0 \end{bmatrix}, \\ \mathbf{r}_1 = & \begin{bmatrix} 1 \\ -g/a \end{bmatrix}, \quad \mathbf{r}_2 = \begin{bmatrix} 1 \\ g/a \end{bmatrix}. \end{aligned} \quad (7)$$

در رابطه بالا $\mathbf{F}'(\mathbf{U})$ ماتریس ژاکوبی و بردارهای \mathbf{r}_1 و \mathbf{r}_2 بردارهای ویژه برای ماتریس مذکور می‌باشند. شایان ذکر است که برای حالت دو بعدی معادلات ضربه‌قوج، سرعت متوسط در هر گام زمانی می‌تواند توسط عبارت زیر محاسبه گردد.

$$V = \frac{\int_0^R u 2\pi r dr}{\pi R^2}. \quad (8)$$

همان‌طور که قبلاً نیز بیان گردید برای حل سیستم معادلات ضربه‌قوج در این مقاله از الگوریتم پخش موج و روش شار موج استفاده خواهد گردید که در ادامه به صورت کلی به بیان این روش‌ها پرداخته می‌گردد.

$$\begin{aligned} & \left[\begin{array}{c} a^2 / g(u_i - u_{i-1}) \\ g(H_i - H_{i-1}) \end{array} \right] - \Delta x \left[\begin{array}{c} 0 \\ \frac{1}{\rho r_i} \frac{\partial(r_i \tau_{rx})}{\partial r_i} \end{array} \right] \\ & = \beta_{1,i-1/2} \left[\begin{array}{c} 1 \\ -g/a \end{array} \right] + \beta_{2,i-1/2} \left[\begin{array}{c} 1 \\ g/a \end{array} \right], \end{aligned} \quad (14)$$

که از رابطه مذکور ضرایب $\beta_{1,i-1/2}$ و $\beta_{2,i-1/2}$ می توانند به شکل زیر محاسبه گردند.

$$\begin{aligned} \beta_{1,i-1/2} &= \frac{c\Gamma_2 - \Gamma_1}{2c}, \\ \beta_{2,i-1/2} &= \frac{\Gamma_1 + c\Gamma_2}{2c}. \end{aligned} \quad (15)$$

که در اینجا،

$$\begin{aligned} \Gamma_1 &= a^2 / g(u_i - u_{i-1}), \\ \Gamma_2 &= g(H_i - H_{i-1}) - \Delta x \frac{1}{\rho r_i} \frac{\partial(r_i \tau_{rx})}{\partial r_i}. \end{aligned} \quad (16)$$

و مقدار $c = g/a$ می باشد. با محاسبه مقدارهای $\beta_{1,i-1/2}$ و $\beta_{2,i-1/2}$ از طریق حل سیستم (15) می توان موج های شار $\tilde{\mathbf{F}}_{k,i-1/2}$ را محاسبه نمود که نهایتاً موج های راست رونده و چپ رونده $\mathbf{A}^\pm \Delta \mathbf{U}_{i-1/2}$ که برای محاسبه بردار مجهولات برای زمان بعدی در روش پخش موج گودونوف موردنیاز هستند به دست خواهند آمد.

روش بالدوین - لوماکس برای محاسبه لزجت گردابهای

مدل بالدوین - لوماکس [17] یک مدل آشفته دولایه ای می باشد که در آن لزجت گردابهای باید در هر لایه به طور مجزا محاسبه گردد. مقدار v_i در هر لایه به ترتیب v_{ii} و v_{to} می باشد که در اینجا v_{ii} لزجت گردابهای در لایه داخلی و v_{to} لزجت گردابهای در لایه

که در این رابطه $\tilde{\mathbf{F}}_{k,i-1/2}$ شار موج با اعمال محدود کننده می باشد. برای روش پخش موج می توان از محدود کننده های مختلفی نظیر van-Leer و superbee و MC استفاده نمود که جزئیات نوع محدود کننده در [5, 15] شرح داده شده است. اگر در معادله بالا مقدار $\tilde{\mathbf{F}}_{i\pm 1/2}^n = 0$ باشد الگوریتم پخش موج مرتبه اول گودونوف به دست می آید.

روش شار موج برای حل معادلات ضربه قوچ در شکل بقایی

روش شار موج در ابتدا برای حل معادلات دینامیک گازها توسط بیل و همکاران [16] معرفی گردید. این روش بعدها توسط مهدیزاده و همکاران [12, 13] برای حل معادلات آب های کم عمق با قابلیت پخش برروی سطح خشک تغییر داده شد [13, 12] که در این مقاله از این روش برای حل معادلات ضربه قوچ استفاده خواهد گردید. در حالت کلی از روش شار برای محاسبه موج های راست رونده و چپ رونده در الگوریتم پخش موج مطابق معادله (10) می توان استفاده نمود. روش شار موج می تواند در حالت کلی به صورت زیر بیان گردد.

$$\mathbf{F}(\mathbf{U}_i) - \mathbf{F}(\mathbf{U}_{i-1}) - \mathbf{S}_{i-1/2} \Delta x = \sum_{k=1}^{M_w} \zeta_{k,i-1/2}, \quad (13)$$

در رابطه فوق $\mathbf{F}(\mathbf{U}_i)$ و $\mathbf{F}(\mathbf{U}_{i-1})$ بردارهای شار در سمت چپ و راست سطح مشترک $i-1/2$ برای دو سلوی مجاور می باشند و M_w نشان دهنده تعداد موج ها برای روش شار موج است که این تعداد برای معادلات ضربه قوچ برابر با ۲ است. روش شار موج برای معادلات ضربه قوچ در شکل بقایی می تواند به صورت زیر توسعه پیدا کند.

محاسبات ضربه‌قوج اعمال گردد که برای این کار می‌توان از معادله زیر که از حل تحلیلی جریان آشفته در لوله‌ها به دست می‌آید، استفاده نمود.

$$(v + v_t) \frac{\partial u}{\partial r} = u_t^2 \left(1 - \frac{y}{R} \right) \quad (20)$$

که در رابطه بالا $u_t = \sqrt{\tau_w / \rho}$ سرعت اصطکاکی (m/s) می‌باشد. معادله (۲۰) را می‌توان با انتگرال‌گیری یا با روش تفاضل محدود به سهولت حل نمود و مقدار سرعت آشفته در حالت پایدار را به دست آورد. لازم به ذکر است که در روش بالدوین-لوماکس باید از یک حدس اولیه برای u_t استفاده گردد که این مقدار می‌تواند از رابطه پرنتل (Prandtl) برای لوله‌های صاف محاسبه شود.

$$u_t = \sqrt{fV^2 / 8} \quad (21)$$

که برای محاسبه ضریب اصطکاک در اینجا می‌توان از رابطه کلبروک-وایت برای لوله‌های صاف به شکل زیر استفاده نمود.

$$\frac{1}{\sqrt{f}} = 2 \log(\text{Re} \sqrt{f}) - 0.8 \quad (22)$$

نکته دیگری که درمورد محاسبه پروفایل جریان آشفته در حالت پایدار باید به آن اشاره نمود این است که مقدار y_{\max} در ابتدا یک مقدار نامشخص است که به کل بردار سرعت بستگی دارد. لذا در روش بالدوین-لوماکس در ابتدا از یک حدس اولیه برای بردار سرعت استفاده می‌شود که این حدس اولیه در قالب یک فرایند تکراری در داخل روش مذکور مدامی که شرط زیر برقرار گردد تصحیح می‌گردد.

$$\|u^{n+1} - u^n\|_2 \leq 10^{-6} \quad (23)$$

خارجی می‌باشد که اساس انتخاب آن به شرایط زیر بستگی دارد.

$$v_t = \begin{cases} v_{ti} & y \leq y_m \\ v_{to} & y > y_m \end{cases} \quad (17)$$

در معادله فوق y_m کوچک‌ترین ارتفاع y یعنی ارتفاع از جدار لوله تا مرکز است که در آن ارتفاع $v_{ti} = v_{to}$ می‌باشد. مقدارهای v_{ti} و v_{to} می‌تواند براساس روابط ذکر شده در ذیل محاسبه گردد.

$$\begin{aligned} v_{ti} &= l_{\text{mix}}^2 \left| \frac{\partial u}{\partial y} \right| \\ l_{\text{mix}} &= ky \left| 1 - e^{-y^2/2k} \right| \\ v_{to} &= \beta C_{cp} F_{\text{wake}} F_{\text{Kleb}}(y; y_{\max} / C_{\text{Kleb}}) \\ F_{\text{wake}} &= \min(y_{\max} F_{\max}; C_{cw} y_{\max} U_{dif}^2 / F_{\max}) \\ F_{\max} &= \frac{1}{k} \left[\max_y \left(l_{\text{mix}} \left| \frac{\partial u}{\partial y} \right| \right) \right] \end{aligned} \quad (18)$$

که در معادله بالا y_{\max} مقداری از ارتفاع y می‌باشد که در آن ارتفاع عبارت $l_{\text{mix}} \left| \frac{\partial u}{\partial y} \right|$ بیشترین مقدار خود را دارا است. U_{dif} بیانگر بیشترین مقدار پروفایل سرعت و F_{Kleb} تابع کلبانوف (Klebanoff) می‌باشد که به صورت زیر تعریف می‌گردد.

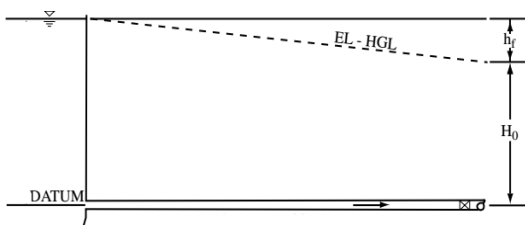
$$F_{\text{Kleb}}(y; \delta) = \left[1 + 5.5 \left(\frac{C_{\text{Kleb}} y}{y_{\max}} \right)^6 \right]^{-1} \quad (19)$$

و مقادیر $\beta = 0.0168$ ، $C_{cp} = 1.6$ $k = 0.4$ و $C_{wk} = 1.0$ و $C_{\text{Kleb}} = 0.3$ به عنوان ضرایب ثابت در روش بالدوین-لوماکس استفاده می‌گردند. برای محاسبه لزجت گردابهای در حالت آشفته برای معادلات ضربه‌قوج لازم است که پروفایل سرعت جریان آشفته در حالت پایدار به عنوان شرط اولیه برای

عبارات اصطکاک آشفته بالدوین - لوماکس برای یک لوله با اعداد رینولذ مختلف ۵۶۰۰ و ۱۵۸۰۰ اجرا می‌شود و نتایج آن با نتایج آزمایشگاهی مقایسه می‌گردد. لازم به ذکر است که برای به دست آوردن دقت مرتبه‌دوم مکانی در تمامی مسائل حل شده از محدود کننده MC استفاده گردیده است. تعداد گره و عدد کورانت برای هر مسئله به نوبه خود ذکر می‌گردد.

حل عددی مسئله ضربه‌قوج برای لوله متصل به مخزن در حالت یکبعدی بدون اصطکاک

در اولین مثال حل شده در اینجا مدل عددی معرفی شده برای مدل‌سازی پدیده ضربه‌قوج برای یک لوله متصل به مخزن که به صورت شکل (۱) می‌باشد در حالت یکبعدی و بدون اصطکاک به کار می‌رود.



شکل ۱ لوله متصل به مخزن برای مدل‌سازی پدیده ضربه‌قوج در حالت یکبعدی [10]

همان‌طور که در شکل نیز مشاهده می‌گردد لوله موردنظر به طول ۲۴۴ متر و قطر 0.6 متر است که به یک مخزن به ارتفاع هد 60.9 متر متصل می‌باشد که آب با سرعت متوسط $0.06 m/s$ در آن در جریان می‌باشد [8]. همچنین این لوله شامل یک شیر در انتهای است که در زمان صفر بسته می‌شود و باعث ایجاد سرعت موج $a = 1219 m/s$ در آن می‌گردد. مقادیر لزجت سینماتیکی و زبری لوله برای مسئله در نظر گرفته شده به ترتیب $\mu = 1.31 \times 10^{-6} m^2/s$ و $\epsilon = 0.0005 m$ می‌باشند. شکل (۲) نوسانات

که در رابطه فوق $\|u\|_2$ نرم اقلیدسی و $\|u\|^{n+1}$ به ترتیب بردارهای سرعت در تکرارهای n و $n+1$ می‌باشند.

پایداری مدل و شرایط مرزی برای معادلات ضربه‌قوج در حالت دو بعدی

برای ایجاد پدیده ضربه‌قوج به عنوان شرایط مرزی لازم است که یک هد ثابت در تمام زمان‌ها در مرز بالا دست برای محاسبه فشار داده شود. این در حالی است که در مدل دو بعدی جریان گذار در لوله‌ها سرعت از معادله اندازه حرکت در هر مقطع از لوله به دست می‌آید. در مرز پایین دست درست قبل از شیر سرعت در تمامی مقاطع باید در مقدار صفر نگه داشته شود. شایان ذکر است که برای ایجاد پایداری برای الگوریتم پخش موج معرفی شده لازم است هر گام زمانی مطابق شرط زیر تعیین گردد.

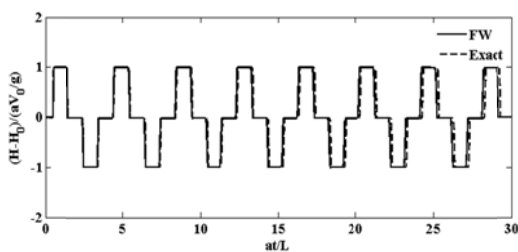
$$Cr = |a\Delta t / \Delta s| \leq 1 \quad (24)$$

در رابطه بالا Cr عدد کورانت می‌باشد که در این مقاله برای مسائل حل شده از اعداد کورانت نزدیک به یک استفاده گردیده است. در واقع اعمال اعداد کورانت نسبتاً نزدیک به ۱ در اینجا از مزایای اصلی روش پخش موج معرفی شده نسبت به مدل‌های مشابه دو بعدی است که زمان پردازش را برای مسائل گذار بسیار تسريع می‌نماید.

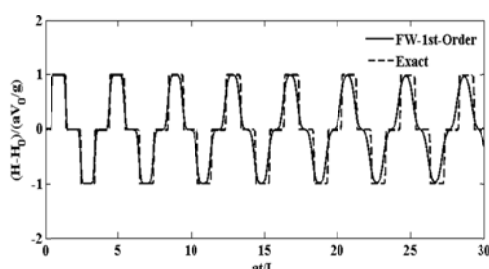
نتایج عددی

برای بررسی قابلیت روش دو بعدی معرفی شده برای مدل‌سازی مسائل ضربه‌قوج در این قسمت به بیان چند مثال عددی پرداخته می‌شود. در ابتدا روش موردنظر برای یک لوله متصل به مخزن در حالت یکبعدی حل می‌شود و نتایج حاصل با حل دقیق در حالت بدون اصطکاک مقایسه می‌گردد. دردامه مدل دو بعدی با

بیشتری را نسبت به نتایج برروی شیر از خود نشان می‌دهد. لازم به ذکر است که برای کلیه نتایج ارائه شده در اینجا تعداد سلول‌های محاسباتی برابر با صد عدد و مقدار عدد کورانت $Cr = 0.8$ می‌باشد.



شکل ۴ مقایسه منحنی تغییرات فشار در مرکز لوله با استفاده از روش شار موج مرتبه دوم و در حالت بدون اصطکاک با حل دقیق

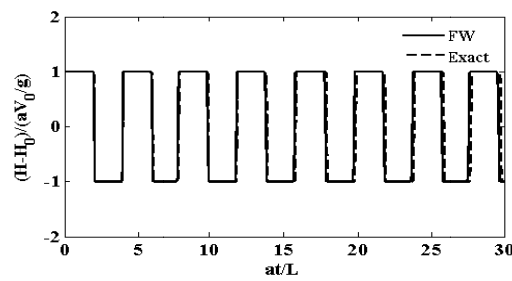


شکل ۵ منحنی تغییرات فشار در محل شیر با استفاده از روش شار موج مرتبه اول و در حالت بدون اصطکاک با حل دقیق

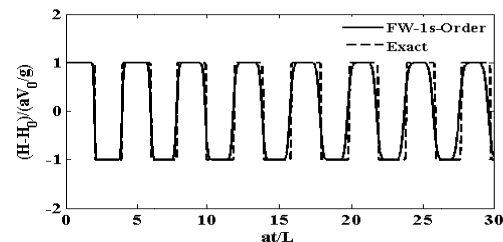
مدل‌سازی جریان ضربه قوچ در حالت دو بعدی و مقایسه با داده‌های آزمایشگاهی

در این قسمت به مقایسه مدل عددی معرفی شده با داده‌های آزمایشگاهی و لحاظ کردن ترم‌های اصطکاک ناپایدار پرداخته می‌گردد. برای این منظور در اینجا از داده‌های آزمایشگاهی به دست آمده در مراجع [18, 19] استفاده گردیده است که خلاصه شرایط اولیه آن در جدول (۱) آورده شده است.

به دست آمده برای هد فشار را با استفاده از روش شار موج معرفی شده بادقت مرتبه دوم و در محل شیر برای زمان ۶۰ ثانیه نشان می‌دهد. همان‌طور که در اینجا دیده می‌شود مدل حجم محدود معرفی شده در حالت بدون اصطکاک کاملاً بر حل تحلیلی منطبق می‌باشد که حاکی از دقت بالای این مدل است. در شکل (۳) نتایج عددی حل مدل با دقت مرتبه اول با حل دقیق مقایسه می‌گردد که نشان از پخش شدگی جواب‌ها نسبت به روش مرتبه دوم به خصوص در بالای موج‌های ایستا (shock waves) است.



شکل ۲ مقایسه منحنی تغییرات فشار در محل شیر با استفاده از روش شار موج مرتبه دوم و در حالت بدون اصطکاک با حل دقیق



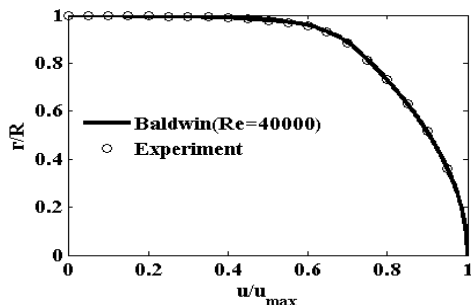
شکل ۳ مقایسه منحنی تغییرات فشار در محل شیر با استفاده از روش شار موج مرتبه اول و در حالت بدون اصطکاک با حل دقیق

شکل‌های (۴ و ۵) نتایج حاصل از حل مدل یکبعدی را برای مثال فوق به ترتیب با دقت مرتبه اول و دوم برای هد فشار در مرکز لوله نشان می‌دهد. همان‌طور که در اینجا نیز مشاهده می‌گردد شبیه‌سازی عددی با دقت مرتبه دوم دوباره بر حل دقیق منطبق می‌گردد در حالی که مرتبه اول حالت پخش شدگی

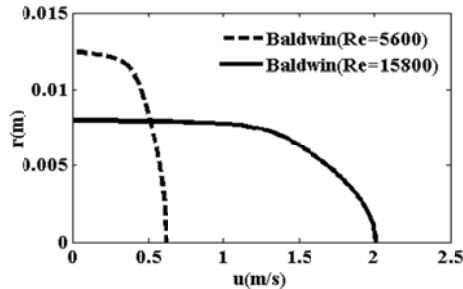
جدول ۱ پارامترهای مختلف برای آزمایش‌های ضربه‌قوچ

	نوع آزمایش	قطر لوله mm	طول لوله m	سرعت موج	سرعت m/s	لزجت سینماتیکی m^2/s	عدد رینولدز
الف		22.1	37/2	1319	0.3032	1.184×10^{-6}	5600
ب		16	37/2	1297	0.9411	9.5×10^{-7}	15800

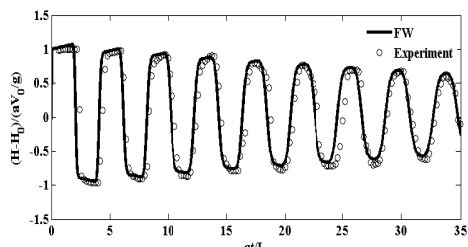
مدل دو بعدی و همچنین محاسبه نسبتی واقعی ترم‌های اصطکاکی توسط روش بالدوین-لوماکس می‌باشد.



شکل ۶ مقایسه نتایج مدل بالدوین-لوماکس و داده‌های آزمایشگاهی برای عدد $Re = 40000$



شکل ۷ پروفایل‌های سرعت اولیه برای اعداد رینولدز نشان داده شده در جدول ۱ که توسط روش بالدوین-لوماکس به دست آمده‌اند.

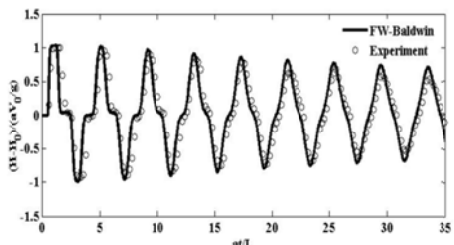


شکل ۸ مقایسه منحنی تغییرات فشار در محل شیر با استفاده از روش شار موج مرتبه دوم و مدل بالدوین-لوماکس برای عدد رینولدز ۵۶۰۰ با حل دقیق

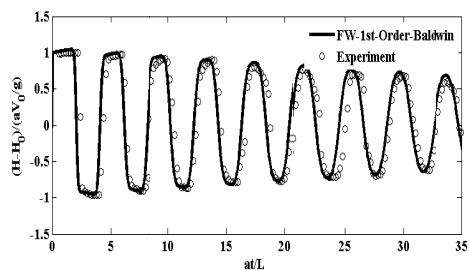
همان‌گونه که قبل ذکر گردید برای مدل‌سازی دو بعدی جریان گذار در لوله‌ها باید سرعت اولیه در حالت پایدار توسط مدل آشفته بالدوین-لوماکس ایجاد گردد. برای بررسی صحت مدل بالدوین-لوماکس ارائه شده مقادیر سرعت در حالت پایدار در ابتدا با مقادیر آزمایشگاهی که در مرجع [20] برای عدد رینولدز $Re = 40000$ محاسبه شده است در شکل (۶) مقایسه می‌گردد.

همان‌طور که در این شکل نمایان است مدل بالدوین-لوماکس مطابقت بسیار خوبی را با داده‌های آزمایشگاهی برای اعداد رینولدز بالا نشان می‌دهد. در شکل (۷) پروفایل‌های سرعت‌های اولیه که توسط روش بالدوین-لوماکس به دست آمده‌اند برای دو عدد رینولدز ۵۶۰۰ و ۱۵۸۰۰ برای تعداد گره ۸۰ عدد درجهت عمود بر محور لوله و ۲۰۰ سلول درجهت افقی نشان داده شده است. به طوری که قبل نیز بیان گردید این سرعت‌ها باید در زمان صفر به عنوان شرایط اولیه برای روش شار موج استفاده گرددند.

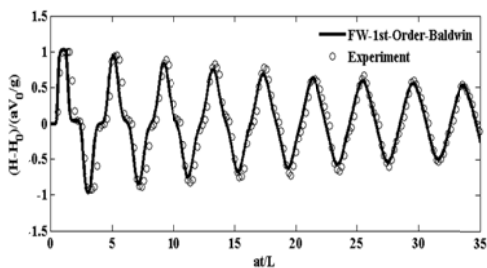
پس از محاسبه سرعت اولیه مدل عددی شار موج معروفی شده برای یک شبکه 80×200 با عدد کورانت $Cr = 0.9$ اجرا می‌گردد که در اینجا ۲۰۰ تعداد سلول‌ها درجهت محور لوله و ۸۰ تعداد گره درجهت عمود بر محور می‌باشند. شکل (۸) نتایج حاصل مدل عددی با دقت مرتبه دوم را که از حل دو بعدی روش شار موج با ترم‌های اصطکاکی حاصل از روش بالدوین-لوماکس به دست آمده است، برای آزمایش الف و نوسانات فشار در محل شیر نشان می‌دهد. مقایسه روش عددی و داده‌های آزمایشگاهی بیانگر این مطلب است که مدل عددی تطابق بسیار خوبی با داده‌های آزمایشگاهی نشان دهد که نشان دهنده دقت



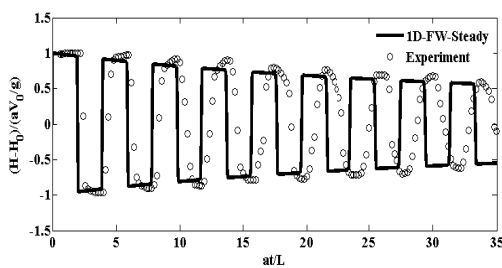
شکل ۱۰ منحنی تغییرات فشار در مرکز لوله با استفاده از روش شار موج مرتبه دوم و مدل بالدوین-لوماکس برای عدد رینولدز ۵۶۰۰ و مقایسه با نتایج آزمایشگاهی



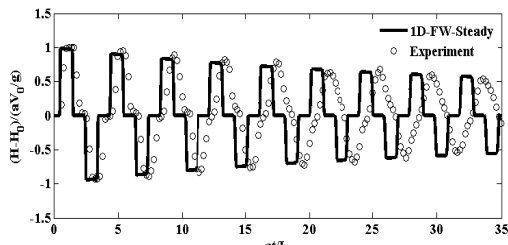
شکل ۹ مقایسه منحنی تغییرات فشار در محل شیر با استفاده از روش شار موج مرتبه اول و مدل بالدوین-لوماکس برای عدد رینولدز ۶۰۰ و مقایسه با نتایج آزمایشگاهی



شکل ۱۱ منحنی تغییرات فشار در مرکز لوله با استفاده از روش شار موج مرتبه اول و مدل بالدوین-لوماکس برای عدد رینولدز ۵۶۰۰ و مقایسه با نتایج آزمایشگاهی

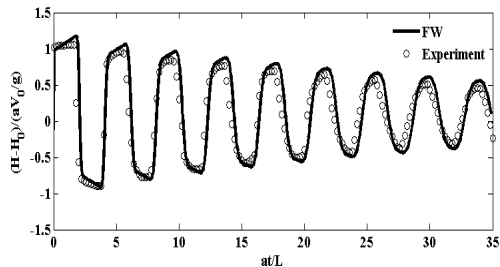


شکل ۱۲ منحنی تغییرات فشار در محل شیر با استفاده از روش شار موج مرتبه دوم در حالت یک بعدی و ترم های اصطکاک پایدار برای عدد رینولدز ۵۶۰۰ و مقایسه با نتایج آزمایشگاهی

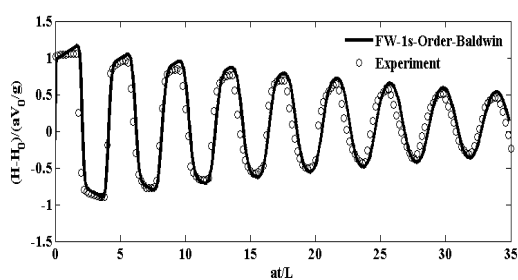


شکل ۱۳ منحنی تغییرات فشار در مرکز لوله با استفاده از روش شار موج مرتبه دوم در حالت یک بعدی و ترم های اصطکاک پایدار برای عدد رینولدز ۵۶۰۰ و مقایسه با نتایج آزمایشگاهی

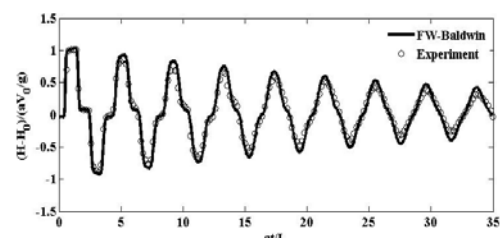
در شکل (۹) نتایج حاصل از حل مدل دوبعدی در حالت مرتبه اول با نتایج آزمایشگاهی مقایسه شده است و همان طور که انتظار می رود دارای پخش شدگی بیشتری نسبت به مدل مرتبه دوم می باشد. شکل های (۱۰) و (۱۱) نتایج عددی مدل شار موج دوبعدی را به ترتیب با دقت های مرتبه دوم و اول برای نوسانات فشار در مرکز لوله و برای آزمایش الف (جدول ۱) نمایش می دهند. همان طور که در اینجا نیز دیده می شود مدل عددی شار موج با عبارات آشفته بالدوین-لوماکس بر نتایج آزمایشگاهی منطبق می باشد. در شکل های (۱۲) و (۱۳) مقایسه نتایج عددی مدل معروفی شده با ترم های اصطکاک پایدار در حالت یک بعدی با نتایج آزمایشگاهی برای آزمایش الف به ترتیب برای نوسانات فشار ببروی شیر و در مرکز لوله با دقت مرتبه دوم تماش داده شده است. نتایج به دست آمده بیانگر این واقعیت می باشند که مدل یک بعدی شامل ترم های اصطکاک پایدار به هیچ وجه قادر به تخمین موج های ایستا برای جریان آشفته نمی باشد و جواب های غیر فیزیکی را از خود بروز می دهد.



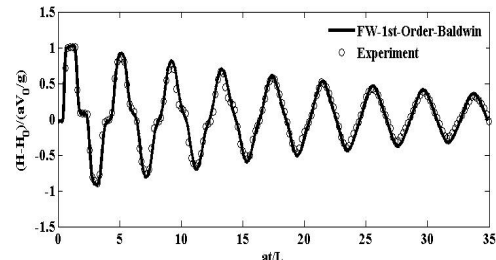
شکل ۱۴ منحنی تغییرات فشار در محل شیر با استفاده از روش
شار موج مرتبه دوم و مدل بالدوین-لوماکس برای
عدد رینولز ۱۵۸۰۰



شکل ۱۵ منحنی تغییرات فشار در محل شیر با استفاده از روش
شار موج مرتبه اول و مدل بالدوین-لوماکس برای
عدد رینولز ۱۵۸۰۰



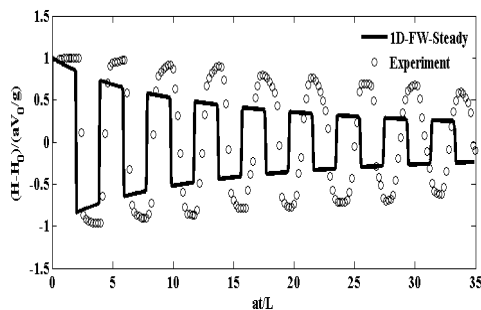
شکل ۱۶ منحنی تغییرات فشار در مرکز لوله با استفاده از روش
شار موج مرتبه دوم و مدل بالدوین-لوماکس برای
عدد رینولز ۱۵۸۰۰



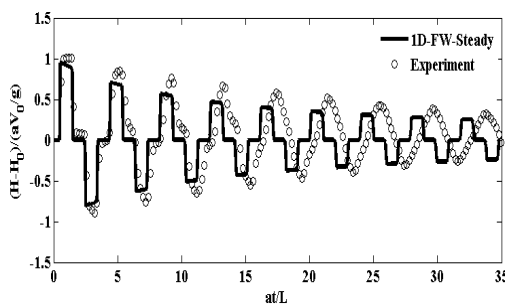
شکل ۱۷ منحنی تغییرات فشار در مرکز لوله با استفاده از روش
شار موج مرتبه اول و مدل بالدوین-لوماکس برای
عدد رینولز ۱۵۸۰۰

شکل های (۱۴ و ۱۵) نتایج مدل دو بعدی را با عبارات اصطکاک آشفته بالدوین-لوماکس برای آزمایش ب که شامل عدد رینولز بالا ($Re=15800$) می باشد برای نوسانات هد فشار بر روی شیر نمایش می دهنند. همان طور که در اینجا نیز دیده می شود عبارات آشفته بالدوین-لوماکس پخش شدگی های بیشتری را به خصوص برای زمان های پایانی برای عبارات فشار نسبت به اعداد رینولز پایین تر ایجاد می نمایند که مطابقت بسیار خوبی را نیز با داده های آزمایشگاهی دارا می باشند. علاوه بر این تفاوت مشاهده شده بین مدل مرتبه اول با دوم حذف عبارات مرتبه دوم ذکر شده در رابطه (۱۲) از مدل پخش موج می باشد. لازم به ذکر است اکثر مدل های ارائه شده دو بعدی که برای حل معادلات ضربه قوچ به کار گرفته شده اند قادر به مدل سازی اعداد رینولز بالا با اعداد کورانت نزدیک به یک نمی باشند [21] در حالی که الگوی عددی معرفی شده در اینجا قابلیت اجرای مسائل دو بعدی با مدل آشفته بالدوین-لوماکس را حتی برای عدد کورانت $Cr=0.95$ بدون هیچ گونه ناپایداری عددی دارا می باشد. در شکل های (۱۶ و ۱۷) مقایسه روش عددی معرفی شده با نتایج آزمایشگاهی ب مندرج در جدول (۱) برای نوسانات فشار و به ترتیب برای دقت های مرتبه دوم و اول در مرکز لوله ارائه گردیده است. دوباره در اینجا موج های ایستا در زمان های پایانی، پخش شدگی بسیار بیشتری را نسبت به اعداد رینولز پایین تر در زمان های مشابه نشان می دهنند (شکل های ۱۰ و ۱۱) که حاکی از تأثیر بیشتر عبارات آشفته بالدوین-لوماکس می باشد.

مزایای روش شار موج معرفی شده به کارگیری اعداد کورانت نزدیک به یک می باشد که سرعت روش فوق را از لحاظ سرعت پردازنده نسبت به روش های دو بعدی بسیار افزایش می دهد.



شکل ۱۸ منحنی تغییرات فشار در محل شیر با استفاده از روش شار موج مرتبه دوم در حالت یک بعدی و ترم های اصطکاک پایدار برای عدد رینولدز ۱۵۸۰۰



شکل ۱۹ منحنی تغییرات فشار در مرکز لوله با استفاده از روش شار موج مرتبه دوم در حالت یک بعدی و ترم های اصطکاک پایدار برای عدد رینولدز ۱۵۸۰۰

در شکل های (۱۸ و ۱۹) نتایج روش شار موج یک بعدی با عبارات اصطکاک پایدار که از معادله سوامی و جین (۳) به دست آمده، آورده شده است که دوباره حاکی از جواب های غیر صحیح مدل یک بعدی با ترم های اصطکاک پایدار برای مسایل جریان گذار در لوله ها به خصوص برای اعداد رینولدز بالا می باشد.

نتیجه گیری

در این تحقیق یک روش حجم محدود برای حل معادلات ضربه قوچ در حالت بقایی معرفی شده است. روش شار موج معرفی شده کاملاً متوازن شده است و قادر می باشد ترم های منبع را در داخل تفاوت شارها از دو سلول مجاور حجم محدود قرار دهد. برای اعمال عبارات جریان آشفته در اینجا برای مسائل دو بعدی از روش بالدوین - لوماکس استفاده گردیده است. نهایتاً روش عددی معرفی شده با عبارات جریان آشفته برای دو عدد رینولدز مختلف $Re=5600$ و $Re=15800$ برای جریان در درون لوله با دو قطر و زبری مختلف اعمال شده و جواب های آن با نتایج آزمایشگاهی مقایسه گردیده است. نتایج عددی نشان می دهد که روش شار موج با عبارات جریان آشفته تطابق بسیار خوبی را با نتایج آزمایشگاهی به خصوص برای اعداد رینولدز بالا دارا می باشد. علاوه بر این اضافه شدن دقت مرتبه دوم به الگوی بخش موج باعث مطابقت نسبتاً بهتری با حل تحلیلی و همچنین نتایج آزمایشگاهی می گردد. از دیگر

مراجع

1. Ghidaoui, M.S., Zhao, M., McInnis, D.A. and Axworthy, D.H., "A Review of Water Hammer Theory and Practice", *Applied Mechanics Reviews*, Vol. 58(1), pp. 49-76, (2005).
2. Samani, H.M.V. and Khayatzadeh, A., "Transient flow in pipe networks", *Journal of Hydraulic Research*, Vol. 40(5), pp. 637-644, (2002).
3. Chaudhry, M.H. and Hussaini, M.Y., "Second-Order Accurate Explicit Finite-Difference Schemes for Waterhammer Analysis", *Journal of Fluids Engineering*, Vol. 107(4), pp. 523-529, (1985)

4. Godunov, S.K., "A difference method for numerical calculation of discontinuous solutions of the equations of hydrodynamics", *Matematicheskii Sbornik*, Vol. 47, pp. 271-306, (1959).
5. LeVeque, R.J., "Finite volume methods for hyperbolic problems", Cambridge University Press, (2002).
6. Toro, E.F., "Shock capturing methods for free surface shallow flows", United Kingdom: John Wiley & Sons, (2001).
7. Toro, E.F., "Riemann Solvers and Numerical Methods for Fluid Dynamics", Tokyo: Springer, (1997).
8. Hwang, Y.-H. and Chung, N.-M., "A fast Godunov method for the water-hammer problem", *International Journal for Numerical Methods in Fluids*, Vol. 40(6), pp. 799-819, (2002).
9. Zhao, M. and Ghidaoui, M.S., "Investigation of turbulence behavior in pipe transient using a k- ϵ -model", *Journal of Hydraulic Research*, Vol. 44(5), pp. 682-692, (2006).
10. Riasi, A., Nourbakhsh, A. and Raisee, M., "Unsteady turbulent pipe flow due to water hammer using k- θ turbulence model", *Journal of Hydraulic Research*, Vol. 47(4), pp. 429-437, (2009).
11. Wahba, E.M., "Runge-Kutta time-stepping schemes with TVD central differencing for the water hammer equations", *International Journal for Numerical Methods in Fluids*, Vol. 52(5), pp. 571-590, (2006).
12. Mahdizadeh, H., Stansby, P.K. and Rogers, B.D., "On the approximation of local efflux/influx bed discharge in the shallow water equations based on a wave propagation algorithm", *International Journal for Numerical Methods in Fluids*, Vol. 66, pp. 1295-1314, (2011).
13. Mahdizadeh, H., Stansby, P. and Rogers, B., "Flood Wave Modeling Based on a Two-Dimensional Modified Wave Propagation Algorithm Coupled to a Full-Pipe Network Solver", *Journal of Hydraulic Engineering*, Vol. 138(3), pp. 247-259, (2011).
14. Swamee, P.K. and Jain, A.K., "Explicit equations for pipe-flow problems", *J. Hydraul. Div.*, Vol. 102(5), pp. 657-664, (1976).
15. LeVeque, R.J., "Balancing source terms and flux gradients in high-resolution Godunov methods: The quasi-steady wave-propagation algorithm", *Journal of Computational Physics*, Vol. 146(1), pp. 346-365, (1998).
16. Bale, D.S., Leveque, R.J., Mitran, S. and Rossmanith, J.A., "A wave propagation method for conservation laws and balance laws with spatially varying flux functions", *SIAM Journal on Scientific Computing*, Vol. 24(3), pp. 955-978, (2002).
17. Baldwin, B. and Lomax, H., "Thin-layer approximation and algebraic model for separated turbulent flows", *AIAA paper*, pp. 78-257, (1978).
18. Bergant, A., Vítkovsky, J., Simpson, A. and Lambert, M., "Valve induced transients influenced by unsteady pipe flow friction", in *Proc of the 10th int meeting of the work group on the behaviour of hydraulic machinery under steady oscillatory conditions*, (2001).
19. Marcinkiewicz, J., Adamowski, A. and Lewandowski, M., "Experimental evaluation of ability of Relap5, Drako®, Flowmaster2™ and program using unsteady wall friction model to calculate water hammer loadings on pipelines", *Nuclear Engineering and Design*, Vol. 238(8), pp. 2084-2093, (2008).
20. "Some Recent Measurements in a Two-Dimensional Turbulent Channel", *Journal of the Aeronautical Sciences*, Vol. 17(5), pp. 277-287, (1950).

21. Wahba, E.M., "Turbulence modeling for two-dimensional water hammer simulations in the low Reynolds number range", *Computers & Fluids*, Vol. 38(9), pp. 1763-1770, (2009).